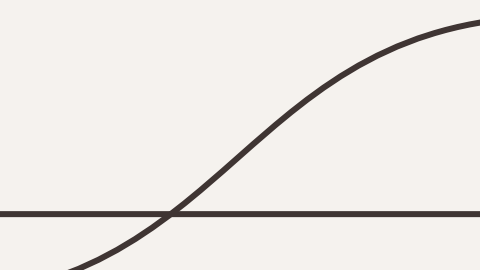




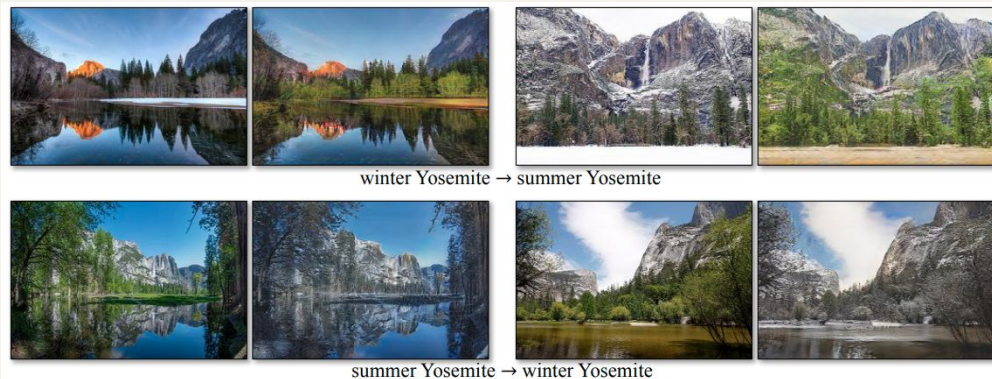
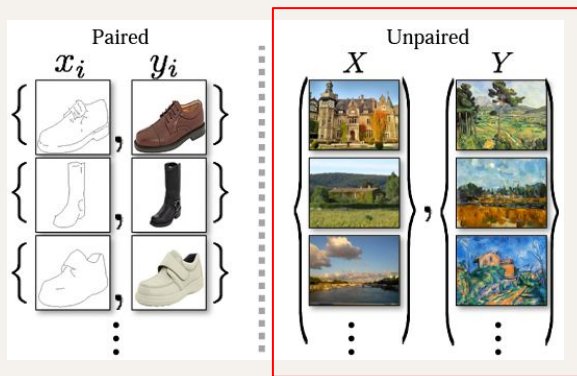
# Cycle GAN

발표자 : 문경환



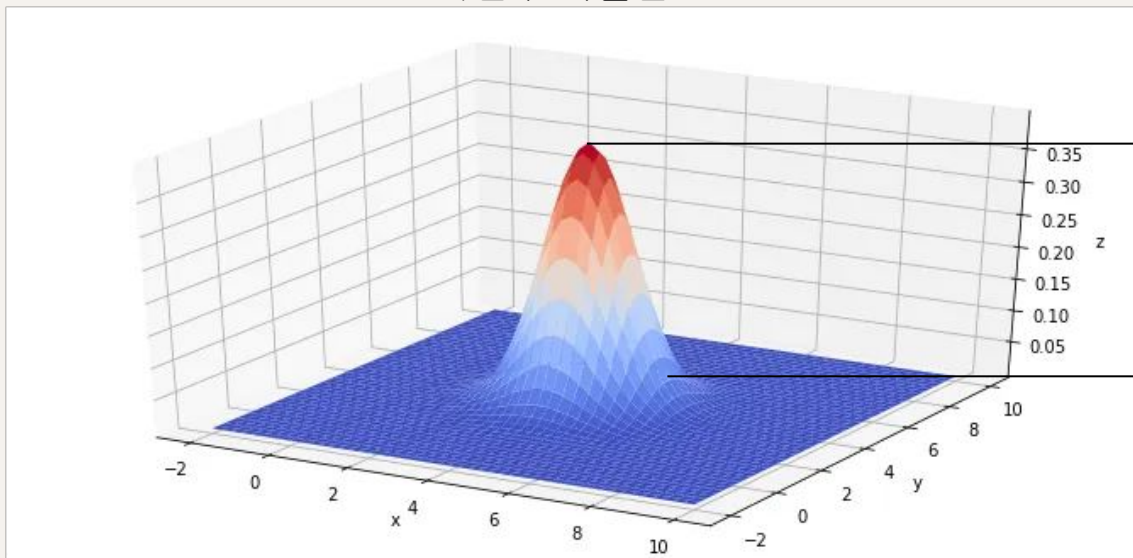
# Abstract

- Unpaired 데이터셋으로 학습이 가능한 image-to-image translation 메서드.
- 기존의 Image-to-Image 모델에서 도메인 간의 학습이 이루어지지 않을 수 있었던 문제 해결.
- Cycle-consistency loss를 통해 다양한 Task에서 좋은 결과를 도출.

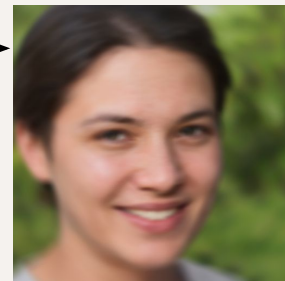
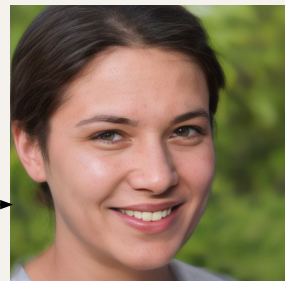


# Generative model

다변수 확률분포

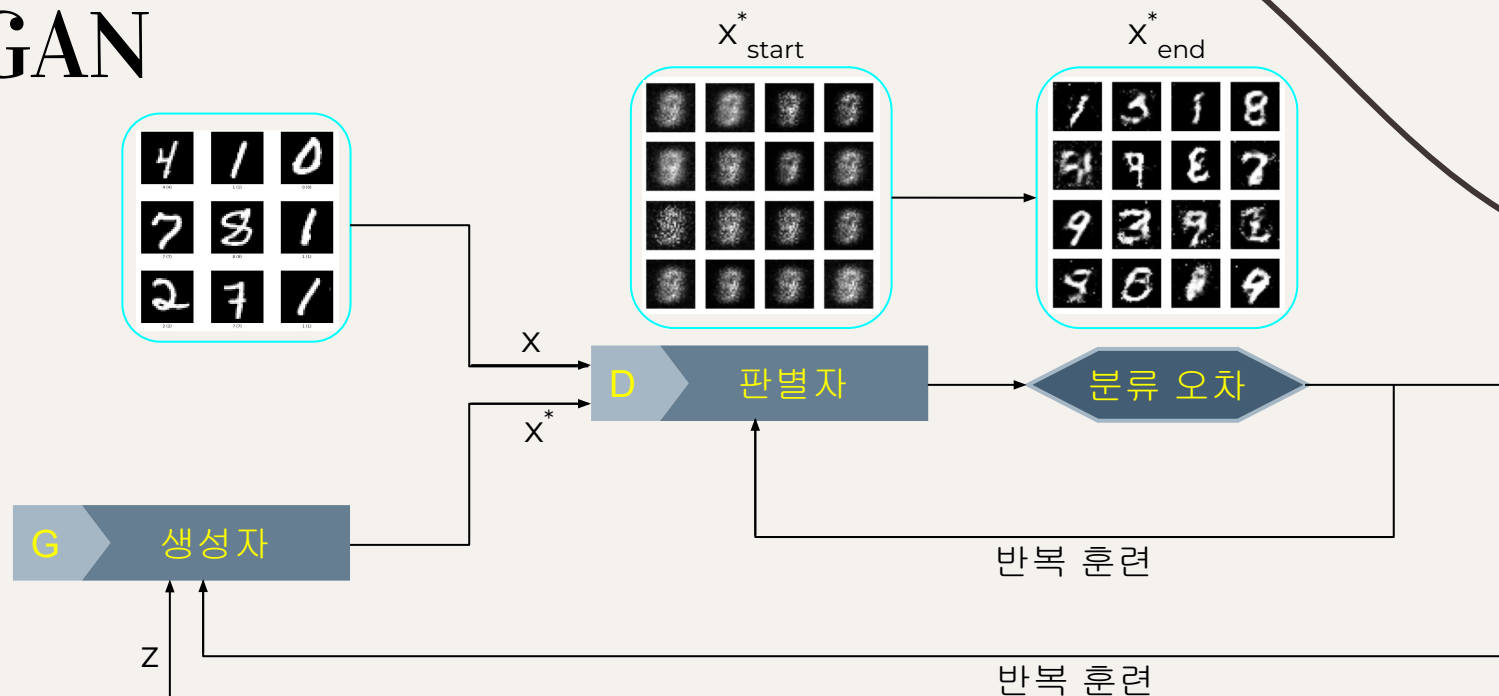


출처 : Aly Shmahell, medium



출처 : analyticsvidhya

# GAN



Loss Function

$$\min_G \max_D V(D, G) = \mathbb{E}_{\mathbf{x} \sim p_{\text{data}}(\mathbf{x})} [\log D(\mathbf{x})] + \mathbb{E}_{\mathbf{z} \sim p_{\mathbf{z}}(\mathbf{z})} [\log(1 - D(G(\mathbf{z})))]$$



**CGAN** → Pix2Pix → CycleGAN

The slide features a light gray background with two horizontal dark gray lines, one near the top and one near the bottom. A dark gray curve starts from the top right and arcs downwards towards the right edge.

CGAN  $\rightarrow$  Pix2Pix  $\rightarrow$  CycleGAN

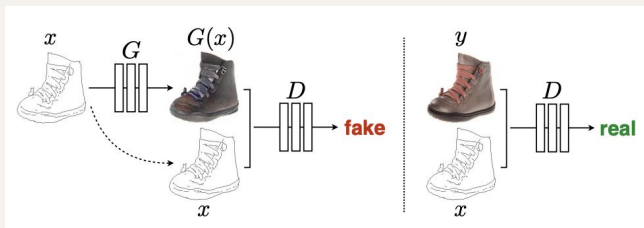


Figure 4: Different losses induce different quality of results. Each column shows results trained under a different loss. Please see <https://phillipi.github.io/pix2pix/> for additional examples.

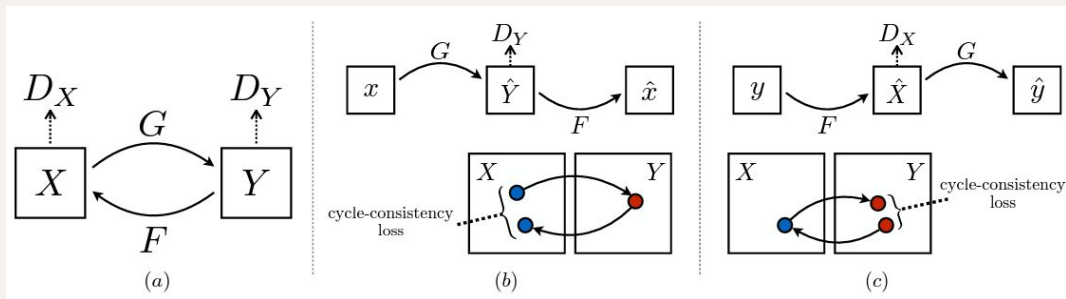
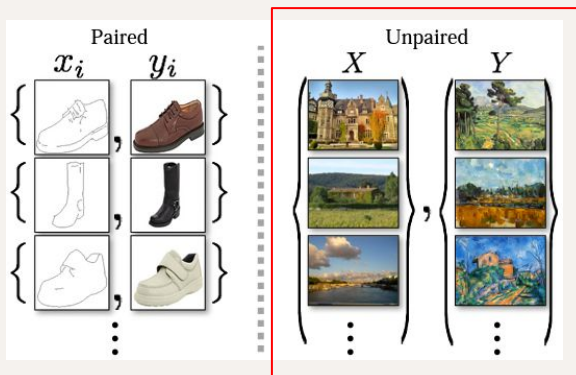


CGAN  $\rightarrow$  Pix2Pix  $\rightarrow$  CycleGAN



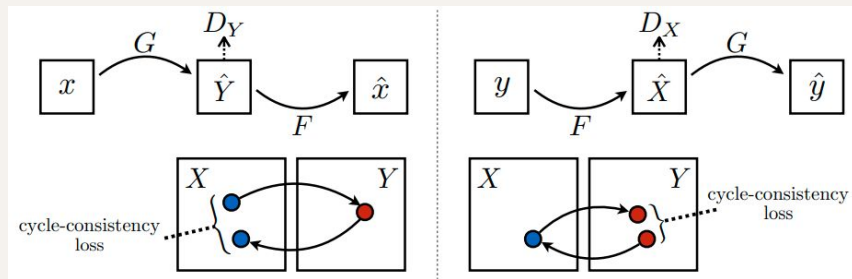
# CycleGAN

- 도메인 X를 도메인 Y로 변환하였다가 다시 도메인 X로 변환시키며 이미지가 다시 복원될 수 있도록 학습함.
- cycle-consistency loss를 사용한 학습으로 원본을 복원하는 능력을 향상.



# Cycle-consistent loss

- 한 사이클을 돌아 이미지가 생성 되었을 때에, 원본 이미지와 얼마나 달라졌는지를 평가.
- Loss의 값이 작을수록 원본 이미지와의 차이가 적다고 볼 수 있음.



$$\mathcal{L}_{\text{cyc}}(G, F) = \mathbb{E}_{x \sim p_{\text{data}}(x)} [\|F(G(x)) - x\|_1] \\ + \mathbb{E}_{y \sim p_{\text{data}}(y)} [\|G(F(y)) - y\|_1].$$

cycle-consistency loss

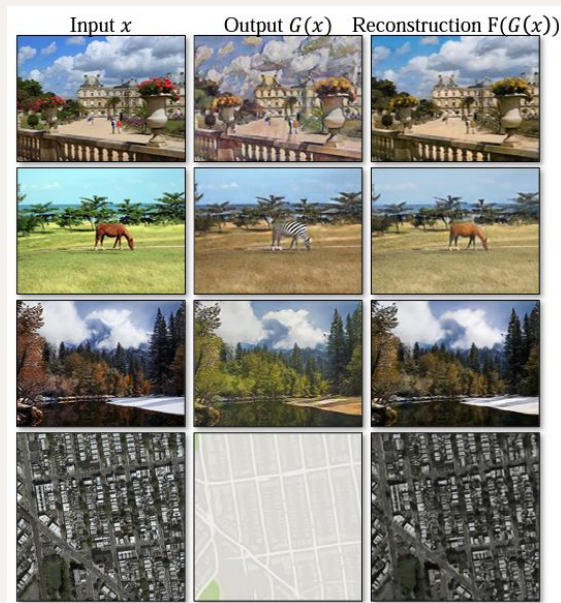
# Full Objective

- 각각의 GAN loss와 cycle-consistency loss의 합을 최소화하는 것이 generator의 목표.

$$\mathcal{L}_{\text{GAN}}(G, D_Y, X, Y) = \mathbb{E}_{y \sim p_{\text{data}}(y)} [\log D_Y(y)] \\ + \mathbb{E}_{x \sim p_{\text{data}}(x)} [\log(1 - D_Y(G(x)))],$$

$$\mathcal{L}(G, F, D_X, D_Y) = \mathcal{L}_{\text{GAN}}(G, D_Y, X, Y) \\ + \mathcal{L}_{\text{GAN}}(F, D_X, Y, X) \\ + \lambda \mathcal{L}_{\text{cyc}}(G, F),$$

$$G^*, F^* = \arg \min_{G, F} \max_{D_X, D_Y} \mathcal{L}(G, F, D_X, D_Y).$$



# Network Architecture & Training

- 여러 residual block을 사용
- Instance Normalization 사용
- Discriminator은 이미지를 여러 패치로 나누어서 진짜/가짜 구분을 수행
- Cross-entropy 기반의 loss에서 mse 기반의 loss를 사용함
  - Mse 기반의 loss가 더욱 학습이 잘되고, 퀄리티가 좋은 이미지를 만들어냄
- 50개의 이전에 생성된 이미지를 저장해두고, Discriminator을 업데이트함
  - 모델 oscillation을 줄임

# Performance

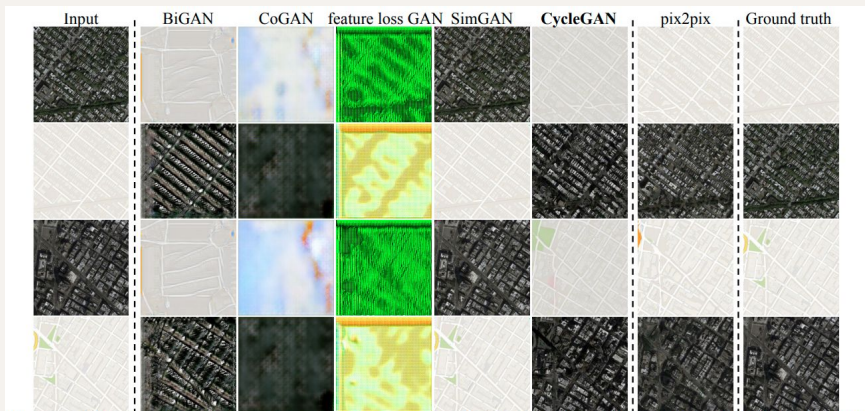


Figure 6: Different methods for mapping aerial photos $\leftrightarrow$ maps on Google Maps. From left to right: input, BiGAN/ALI [9, 7], CoGAN [32], feature loss + GAN, SimGAN [46], CycleGAN (ours), pix2pix [22] trained on paired data, and ground truth.



Loss	Map $\rightarrow$ Photo	Photo $\rightarrow$ Map
	% Turkers labeled <i>real</i>	% Turkers labeled <i>real</i>
CoGAN [32]	$0.6\% \pm 0.5\%$	$0.9\% \pm 0.5\%$
BiGAN/ALI [9, 7]	$2.1\% \pm 1.0\%$	$1.9\% \pm 0.9\%$
SimGAN [46]	$0.7\% \pm 0.5\%$	$2.6\% \pm 1.1\%$
Feature loss + GAN	$1.2\% \pm 0.6\%$	$0.3\% \pm 0.2\%$
CycleGAN (ours)	<b><math>26.8\% \pm 2.8\%</math></b>	<b><math>23.2\% \pm 3.4\%</math></b>

Table 1: AMT “real vs fake” test on maps $\leftrightarrow$ aerial photos at  $256 \times 256$  resolution.

Loss	Per-pixel acc.	Per-class acc.	Class IOU
CoGAN [32]	0.40	0.10	0.06
BiGAN/ALI [9, 7]	0.19	0.06	0.02
SimGAN [46]	0.20	0.10	0.04
Feature loss + GAN	0.06	0.04	0.01
CycleGAN (ours)	<b>0.52</b>	<b>0.17</b>	<b>0.11</b>
pix2pix [22]	0.71	0.25	0.18

Table 2: FCN-scores for different methods, evaluated on Cityscapes labels $\rightarrow$ photo.

Loss	Per-pixel acc.	Per-class acc.	Class IOU
CoGAN [32]	0.45	0.11	0.08
BiGAN/ALI [9, 7]	0.41	0.13	0.07
SimGAN [46]	0.47	0.11	0.07
Feature loss + GAN	0.50	0.10	0.06
CycleGAN (ours)	<b>0.58</b>	<b>0.22</b>	<b>0.16</b>
pix2pix [22]	0.85	0.40	0.32

Table 3: Classification performance of photo $\rightarrow$ labels for different methods on cityscapes.

Q&A